

# PROSJEKTOPPGAVE I TEK4040 MATEMATISK MODELLERING AV DYNAMISKE SYSTEMER

Daniel Fremming

November 3, 2024

## 1 Introduksjon

Prosjektoppgaven utgjør det obligatoriske arbeidet i faget TEK4040 Matematisk modellering av dynamiske systemer. Formålet er å modellere og simulere et stivt legeme som roterer. Bevegelsen er basert på løsninger av kinematikk- og spinnlikningene gitt av kinematikklikningene for 3-2-1 Eulervinkler. Denne oppgaven ble gjennomført i MATLAB.

## 2 Fremgangsmåte

Opgaven har 4 deloppgaver, der følgende besvares:

1. Finne treghetsmatrisa for en murstein med sidekanter 5, 10 og 20 cm (langs hhv. x-, y- og z-aksene) og tettheten  $2\text{kg/dm}^3$
2. Definér den kinetiske energiellipsoiden og spinnellipsoiden for 3 tilfeller. Her holdes den kinetiske energiellipsoiden konstant. Ellipsoidene plottes i hvert sitt koordinatsystem for hvert tilfellet.
3. Eulerlikningene settes opp og løses i MATLAB for de 3 tilfellene sammen med initialbetingelsene som gir samme løsning som skjæringskurvene i punktet over.
4. Tre animasjonsfilmer som viser rotasjonen til mursteinen sett fra treghetsrommet i hvert av de 3 tilfellene. Disse baseres på kinematikklikningene for 3-2-1 Euler vinkler og løsningen med kinematikk- og spinnlikningene for repsektive tilfeller.

### 3 Matematiske likninger

Sentrale likninger brukt for oppgaven er oppgitt i denne delen. Først regnes ut treghetsmatrisen til mursteinen, den kinetiske energien, de karakteristiske vinkelhastighetene for hvert tilfelle og til slutt kinematikken gitt av 3-2-1 Eulervinklene.

#### 3.1 Treghetsmatrise

Treghetsmomentene beregnes komponentvis:

$$J_{11} = \frac{1}{12}m(b^2 + c^2) \quad (1)$$

$$J_{22} = \frac{1}{12}m(a^2 + c^2) \quad (2)$$

$$J_{33} = \frac{1}{12}m(a^2 + b^2) \quad (3)$$

der  $a$ ,  $b$  og  $c$  er dimensjonene langs henholdsvis x-, y- og z-aksene, og  $m$  er massen. Disse verdiene var gitt av oppgave beskrivelsen. Dette ga følgende numeriske treghetsmatrise:

$$J = \begin{bmatrix} 0.0083 & 0 & 0 \\ 0 & 0.0071 & 0 \\ 0 & 0 & 0.0021 \end{bmatrix}$$

#### 3.2 Kinetisk energiellipsoide og spinnellipsoide - utregning av vinkelhastighet

##### 3.2.1 Initialbetingelser

Starter med rotasjon om hovedakse 3 ( $\vec{b}_3$ ) med periode  $T = 1$  s:

$$\tilde{\omega}_3 = \frac{2\pi}{T} = 2\pi \approx 6.28 \text{ rad/s} \quad (4)$$

$$\vec{\omega}_b^{ib} = [0; 0; \tilde{\omega}_3] \quad (5)$$

##### 3.2.2 Kinetisk Energi

Den kinetiske energien blir da:

$$K_0 = \frac{1}{2}J_{33}\tilde{\omega}_3^2 \quad (6)$$

$$= \frac{1}{2} \cdot \frac{m}{12}(x^2 + y^2) \cdot (2\pi)^2 \quad (7)$$

Gitt dimensjonene:

$$x = 0.05 \text{ m}$$

$$y = 0.10 \text{ m}$$

$$z = 0.20 \text{ m}$$

$$\rho = 2000 \text{ kg/m}^3$$

Beregner massen:

$$\begin{aligned} m &= \rho \cdot x \cdot y \cdot z \\ &= 2000 \cdot 0.05 \cdot 0.10 \cdot 0.20 \\ &= 2 \text{ kg} \end{aligned}$$

Treghetsmomentene blir:

$$\begin{aligned} J_{11} &= \frac{m}{12}(y^2 + z^2) = \frac{2}{12}(0.1^2 + 0.2^2) = 0.00717 \text{ kg} \cdot \text{m}^2 \\ J_{22} &= \frac{m}{12}(x^2 + z^2) = \frac{2}{12}(0.05^2 + 0.2^2) = 0.00675 \text{ kg} \cdot \text{m}^2 \\ J_{33} &= \frac{m}{12}(x^2 + y^2) = \frac{2}{12}(0.05^2 + 0.1^2) = 0.00208 \text{ kg} \cdot \text{m}^2 \end{aligned}$$

Den kinetiske energien blir da:

$$\begin{aligned} K_0 &= \frac{1}{2} \cdot 0.00208 \cdot (2\pi)^2 \\ &= 0.0410 \text{ J} \end{aligned}$$

### 3.2.3 Vinkelhastigheter

Energien beregnet i forrige del kan vi brukes til å regne ut de karakteristiske vinkelhastighetene for hver av aksene:

$$\begin{aligned} \tilde{\omega}_1 &= \sqrt{\frac{2K_0}{J_{11}}} = \sqrt{\frac{2 \cdot 0.0410}{0.00717}} = 3.38 \text{ rad/s} \\ \tilde{\omega}_2 &= \sqrt{\frac{2K_0}{J_{22}}} = \sqrt{\frac{2 \cdot 0.0410}{0.00675}} = 3.49 \text{ rad/s} \\ \tilde{\omega}_3 &= 2\pi = 6.28 \text{ rad/s} \end{aligned}$$

### 3.2.4 Initial vinkelhastigheter for tilfelle 1-3

Tilfelle 1: Rotasjon nær  $\vec{b}_1$  (x-akse) Med  $\omega_3 = \tilde{\omega}_3/10$ :

$$\begin{aligned}\omega_3 &= 0.628 \text{ rad/s} \\ \omega_1 &= \tilde{\omega}_1 \sqrt{1 - \frac{\omega_3^2}{\tilde{\omega}_3^2}} \\ &= 3.38 \sqrt{1 - \frac{0.628^2}{6.28^2}} \\ &= 3.35 \text{ rad/s}\end{aligned}$$

Gir vinkelhastighetsvektor:

$$\vec{\omega}_b^{ib} = [3.35; 0; 0.628] \text{ rad/s}$$

Tilfelle 2: Rotasjon nær  $\vec{b}_2$  (y-akse):

$$\begin{aligned}\omega_3 &= 0.628 \text{ rad/s} \\ \omega_2 &= \tilde{\omega}_2 \sqrt{1 - \frac{\omega_3^2}{\tilde{\omega}_3^2}} \\ &= 3.49 \sqrt{1 - \frac{0.628^2}{6.28^2}} \\ &= 3.46 \text{ rad/s}\end{aligned}$$

Gir vinkelhastighetsvektor:

$$\vec{\omega}_b^{ib} = [0; 3.46; 0.628] \text{ rad/s}$$

Tilfelle 3: Rotasjon nær  $\vec{b}_3$  (z-akse):

$$\vec{\omega}_b^{ib} = [0.338; 0; 6.22] \text{ rad/s}$$

hvor  $\omega_1 = \tilde{\omega}_1/10$  og  $\omega_3 = 0.99\tilde{\omega}_3$ .

### 3.3 Initialbetingelser

De beregnede initialbetingelsene for hvert tilfelle sikrer at den kinetiske energien er bevart for alle 3 tilfellene, dvs. at den kinetiske energien er den samme for hvert tilfelle. For plot av ellipsoidene se 3.5.1, 3.5.2, 3.5.3:

$$\text{Tilfelle 1: } \vec{\omega}_b^{ib} = [3.35; 0; 0.628] \text{ rad/s}$$

$$\text{Tilfelle 2: } \vec{\omega}_b^{ib} = [0; 3.46; 0.628] \text{ rad/s}$$

$$\text{Tilfelle 3: } \vec{\omega}_b^{ib} = [0.338; 0; 6.22] \text{ rad/s}$$

### 3.4 Kinematisk løsning for 3-2-1 Eulervinkler

Vi har at løsningen for Eulersvinkelhastigheter er gitt av:

$$\begin{bmatrix} \dot{\phi} \\ \dot{\theta} \\ \dot{\psi} \end{bmatrix} = \begin{bmatrix} 1 & \sin \phi \tan \theta & \cos \phi \tan \theta \\ 0 & \cos \phi & -\sin \phi \\ 0 & \sin \phi / \cos \theta & \cos \phi / \cos \theta \end{bmatrix} \begin{bmatrix} \omega_1 \\ \omega_2 \\ \omega_3 \end{bmatrix}$$

Som komponentvis kan skrives:

$$\dot{\phi} = \omega_1 + \omega_2 \sin(\phi) \tan(\theta) + \omega_3 \cos(\phi) \tan(\theta)$$

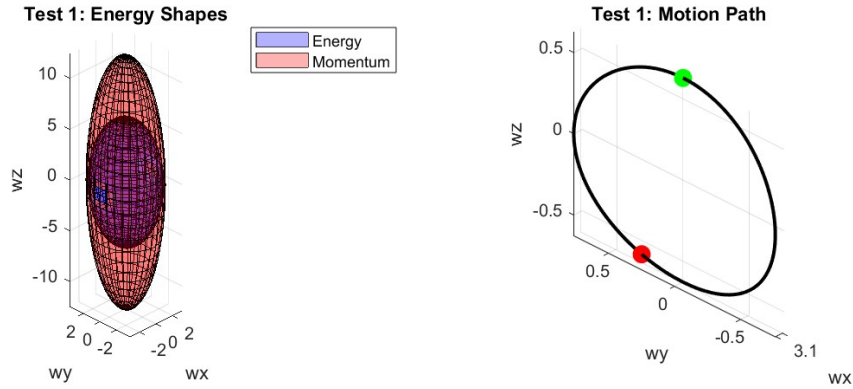
$$\dot{\theta} = \omega_2 \cos(\phi) - \omega_3 \sin(\phi)$$

$$\dot{\psi} = \frac{\omega_2 \sin(\phi) + \omega_3 \cos(\phi)}{\cos(\theta)}$$

## 3.5 Plots

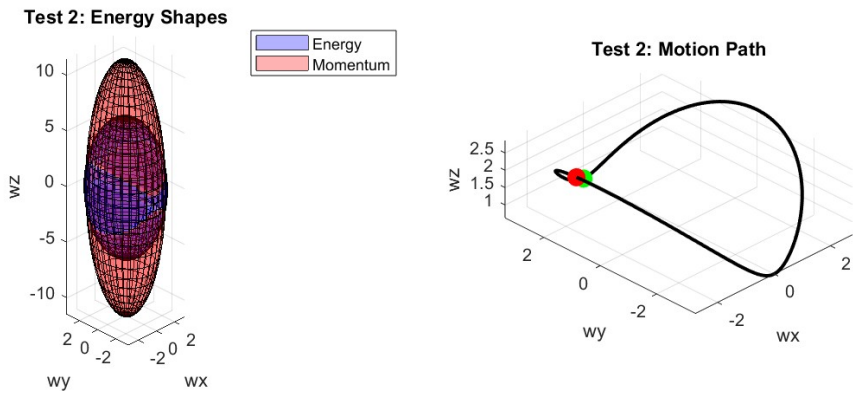
### 3.5.1 Tilfelle 1: Skjæring nær $b_1$ -aksen

Vinkelhastigheten  $\omega_1$  beregnes til å være  $\omega_1 = \tilde{\omega}_1 \sqrt{1 - (\frac{\omega_3}{\tilde{\omega}_3})^2}$ .



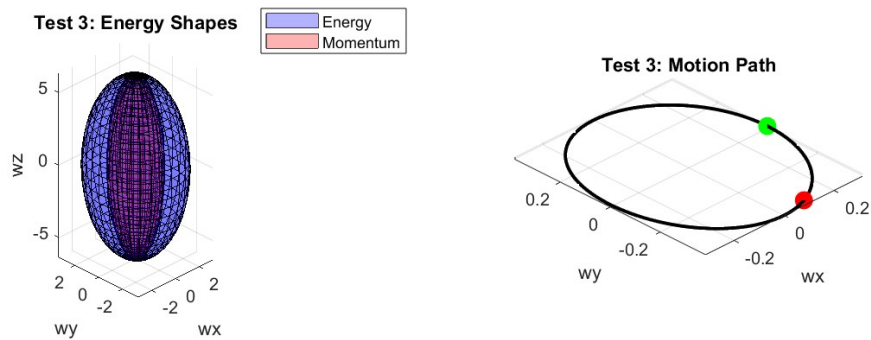
### 3.5.2 Tilfelle 2: Skjæring nær $b_2$ -aksen

Vinkelhastigheten  $\omega_2$  beregnes til å være  $\omega_2 = \tilde{\omega}_2 \sqrt{1 - (\frac{\omega_3}{\tilde{\omega}_3})^2}$ .



### 3.5.3 Tilfelle 3: skjæring nær $b_3$ -aksen

I dette tilfellet roterer legemet kun om  $b_3$ -aksen, slik at  $\omega_1 = 0$  og  $\omega_2 = 0$ , og  $\omega_3 = \tilde{\omega}_3$



## 4 MATLAB-kode

MATLAB-koden for implementeringen er strukturert i flere funksjoner. Disse er inkludert under og navngitt ut i fra deres funksjoner. Disse er satt opp i kronologisk rekkefølge etter hvilke oppgave de ble brukt til å løse.

### 4.1 Utregning av treghetsmatrise

```
1 % Box size
2 length = 0.05; % x
3 width = 0.10; % y
4 height = 0.20; % z
5
6 % Basic properties
7 density = 2000; % kg/m^3
8 mass = density * length * width * height;
9
10 % Calculate moment of inertia
11 % Using basic formulas from textbook
12 Ixx = mass/12 * (width^2 + height^2);
13 Iyy = mass/12 * (length^2 + height^2);
14 Izz = mass/12 * (length^2 + width^2);
15 I = [Ixx 0 0; 0 Iyy 0; 0 0 Izz];
16 disp(I)
```

---

Listing 1: Treghetsmatrise

## 4.2 Plotting og utregning av kinetiske energi- og spin-nellipsoider

```
1 % Initial rotation speed
2 base_speed = 2*pi;
3 energy = 0.5 * Izz * base_speed^2;
4
5 % Calculate other speeds to keep same energy
6 wx = sqrt(2*energy/Ixx);
7 wy = sqrt(2*energy/Iyy);
8
9 % Three different starting conditions
10 initial_conditions = {
11     [wx * 0.99, 0, base_speed * 0.1],      % Mostly around
12     x
13     [0, wy * 0.99, base_speed * 0.1],      % Mostly around
14     y
15     [wx * 0.1, 0, base_speed * 0.99]       % Mostly around
16     z
```

Listing 2: Initial betingelser

```
1 % Calculate initial energy
2 init_cond = initial_conditions{test};
3 energy = 0.5 * init_cond * I * init_cond';
4 momentum = norm(I * init_cond');
5
6 % Draw energy surface
7 surf(X*sqrt(2*energy/Ixx), Y*sqrt(2*energy/Iyy), Z*
8     sqrt(2*energy/Izz), ...
9     'FaceColor', 'b', 'FaceAlpha', 0.3);
10 hold on
11
12 % Draw momentum surface
13 surf(X*momentum/Ixx, Y*momentum/Iyy, Z*momentum/Izz,
14     ...
15     'FaceColor', 'r', 'FaceAlpha', 0.3);
16
17 grid on
```



```

16     axis equal
17     view([-45, 30]);
18     xlabel('wx'); ylabel('wy'); zlabel('wz');
19     title(['Test_', num2str(test) ' : Energy Shapes']);
20     legend('Energy', 'Momentum');

```

Listing 3: Utregning og plotting av ellipsoider

### 4.3 Utregning av løsning for Eulerlikningene

```

1 % Function to calculate motion
2 function dw = calculate_motion(~, w, I)
3     % Basic Euler equations
4     dw = zeros(3,1);
5     dw(1) = ((I(2,2) - I(3,3)) * w(2) * w(3)) / I(1,1);
6     dw(2) = ((I(3,3) - I(1,1)) * w(3) * w(1)) / I(2,2);
7     dw(3) = ((I(1,1) - I(2,2)) * w(1) * w(2)) / I(3,3);
8 end

```

Listing 4: Eulerlikning

```

1 % Solve differential equations
2
3 for test = 1:3
4     % Solve differential equations
5     [t, w] = ode45(@(t,w) calculate_motion(t, w, I), time
6         , initial_conditions{test}, options);
7
8     % Make a new figure
9     figure('Position', [50, 500-200*test, 800, 300]);
10
11     % Plot the motion path
12     subplot(1, 2, 2);
13     plot3(w(:,1), w(:,2), w(:,3), 'k', 'LineWidth', 2);
14     hold on
15     % Mark start and end
16     plot3(w(1,1), w(1,2), w(1,3), 'go', 'MarkerFaceColor',
17         , 'g', 'MarkerSize', 10);
18     plot3(w(end,1), w(end,2), w(end,3), 'ro', '
19         MarkerFaceColor', 'r', 'MarkerSize', 10);
20     grid on
21     axis equal
22     view([-45, 30]);

```

```

20 xlabel('wx'); ylabel('wy'); zlabel('wz');
21 title(['Test_', num2str(test) ' : Motion Path']);

```

Listing 5: Plotting av skjæringskurvene

## 4.4 Rotasjon av murstein

```

1 % Update rotation angles
2 function angles = update_box_angles(angles, omega, dt)
3     phi = angles(1);
4     theta = angles(2);
5
6     % Keep theta in safe range
7     if theta > pi/2 - 0.01
8         theta = pi/2 - 0.01;
9     elseif theta < -pi/2 + 0.01
10        theta = -pi/2 + 0.01;
11    end
12
13    % Calculate angle changes
14    dphi = omega(1) + tan(theta) * (sin(phi)*omega(2) +
15        cos(phi)*omega(3));
16    dtheta = cos(phi)*omega(2) - sin(phi)*omega(3);
17    dpsi = (sin(phi)*omega(2) + cos(phi)*omega(3)) / cos(
18        theta);
19
20    % Update angles
21    angles = angles + dt * [dphi dtheta dpsi];
22
23    % Keep angles between 0 and 2pi
24    angles = mod(angles, 2*pi);
25 end
26
27 % Make rotation matrix
28 function R = make_rotation_matrix(angles)
29     phi = angles(1);
30     theta = angles(2);
31     psi = angles(3);
32
33    % Basic rotation matrices
34    Rx = [1 0 0; 0 cos(phi) -sin(phi); 0 sin(phi) cos(phi)
35        ]];

```

```

33 Ry = [cos(theta) 0 sin(theta); 0 1 0; -sin(theta) 0
        cos(theta)];
34 Rz = [cos(psi) -sin(psi) 0; sin(psi) cos(psi) 0; 0 0
        1];
35
36 % Combine rotations
37 R = Rx * Ry * Rz;
38 end

```

Listing 6: Rotasjon